

МАТЕМАТИЧЕСКИЕ МОДЕЛИ РАСЧЕТА УРОВНЕЙ ГРУНТОВЫХ ВОД ОРОШАЕМЫХ ПОЛЕЙ ПРИ ОБОСНОВАНИИ ТЕХНОЛОГИЙ ИХ МОДЕРНИЗАЦИИ И РЕКОНСТРУКЦИИ

Ю. И. КАЛУГИН, С. Н. КУРГАНСКАЯ, В. С. СИРЫЙ

Институт гидромеханики НАН Украины, Киев

Получено 05.02.2004

Рассматривается имитационная математическая модель расчета уровней грунтовых вод орошаемого поля с учетом различных режимообразующих факторов. Предлагаемая методика дает возможность оценить динамику формирования уровенных режимов и определить основные направления их оптимизации. Так как ряд процессов, имеющих отношение к проблеме переноса влаги и миграции солей, допускает математическое моделирование с использованием одномерных потоков в зоне аэрации, то преимущество одномерного рассмотрения процессов состоит в относительной простоте анализа соответствующих уравнений на ЭВМ и построений оптимизационных имитационных моделей.

Розглядається імітаційна математична модель розрахунку рівнів грунтових вод зрошуваного поля з урахуванням різних режимостворюючих факторів. Запропонована методика дає можливість оцінити динаміку формування рівнів і визначити основні напрямки їх оптимізації. Оскільки ряд процесів, які мають відношення до проблеми переміщення вологи та солей, допускають математичне моделювання з використанням одновимірних течій в зоні аерації, то перевага одновимірного розгляду процесів полягає у відносній простоті аналізу відповідних рівнянь на ЕОМ і побудові оптимізації імітаційних моделей.

The simulation mathematical model of the calculation water table irrigated field is Offered with provision for different regimeoобразуючих factor. The proposed methods enables to value the speaker of the shaping уровенных mode and define the main trends to their optimization. Since variety of processes, referring to problem of the carrying влаги and migration of the salts, allows mathematical modeling with use univariate flow in zone of the aeration, that advantage of univariate consideration of the processes consists in relative simplicity of the analysis corresponding to equations on COMPUTER and buildings оптимизационных simulation models.

ВВЕДЕНИЕ

Подтопление земель формируется под действием природных и техногенных факторов и источников. При подтоплении не только повышается уровень грунтовых вод, но изменяется их химический состав, влажностной и солевой режим грунтов зоны аэрации, прочностные и деформационные свойства грунтов, почвообразовательные процессы и др.

В результате выхода из строя вертикального дренажа на площади 66 тыс. га орошаемых земель Украины их эколого-мелиоративное состояние ухудшилось в связи с повышением уровня грунтовых вод выше критической глубины [1]. Поэтому прогноз подтопления мелиорируемых земель связан с необходимостью анализа большого количества естественных процессов, протекающих в орошаемых почвах, и приобретает особое значение при обосновании проектных режимов оросительной системы, а также при исследовании ее эколого-экономической эффективности.

При проектировании защитных мероприятий на подтопленных мелиорируемых полях необходимо тщательное изучение гидрогеологических усло-

вий и проведения фильтрационных расчетов для обоснованного выбора технологий их модернизаций и реконструкции, удовлетворяющих условиям точных технологий для орошаемого земледелия, т. е. когда суточное поступление влаги на поверхность полей равно суммарному испарению.

На наш взгляд, разработка математических моделей имитационно-оптимизационного характера для обоснования защитных мероприятий и их эколого-экономической эффективности в случае орошаемого поля должна быть, в первую очередь, применена к орошаемому участку (полю), а затем ко всей оросительной системе в целом. Перспективны в этом отношении технологии, когда при проектировании и реконструкции оросительная система компонуется из подсистем (полей), допускающих осуществление дифференцированного подхода к использованию грунтов с разными водно-физическими свойствами и разным содержанием питательных веществ [1].

1. ПОСТАНОВКА ЗАДАЧ

Расчет уровенного режима такого модуля (поля) может быть осуществлен на основе трехмер-

ной модели влагопереноса в зоне аэрации и фильтрации грунтовых вод с учетом осадков, поливов, суммарного испарения, работы дренажной сети, которая в общем случае может быть выборочной, а также с учетом влияния каналов, регулирующих бассейнов и др. гидротехнических сооружений (рис. 1). Решение такой трехмерной краевой задачи даже численными методами затруднительно как с точки зрения реализации вычислительной схемы на ЭВМ, так и количества вычислений [2]. В этой связи, для гидрогеологической схемы двухслойного пласта со слабопроницаемым прослоем предлагается прогноз и исследование динамики уровней грунтовых вод осуществлять по упрощенной математической модели с использованием двумерного уравнения фильтрации в гидравлической постановке:

$$\mu \frac{\partial H}{\partial t} = \frac{\partial}{\partial x} \left(K_b \frac{\partial H}{\partial x} \right) + \frac{\partial}{\partial y} \left(K_b \frac{\partial H}{\partial y} \right) + (1)$$

$$+ W(x, y, t, H),$$

где x, y – пространственные координаты; μ – коэффициент влагоемкости; H – гидравлический напор; $K_b = k_f m$, k_f – коэффициент фильтрации; m – мощность насыщенной части водоносного горизонта (при горизонтальном водогупоре $m = H$); $W(x, y, t, H) = q_1(x, y, t) + q_2(x, y, t, H)$ – сток (источник), $q_1(x, y, t)$ – потери или поступления на свободную поверхность, $q_2(x, y, t, H) = \frac{k_1}{m_0} (h - H)$ – переток с нижнего горизонта, h – гидравлический напор в нижнем горизонте; k_1 – коэффициент фильтрации слабопроницаемого слоя ($k_1 \ll k_f$), m_0 – мощность слабопроницаемого слоя.

Прогноз и исследование динамики загрязнений грунтовых вод может быть осуществлен на основе гидравлической теории геохимических процессов, отражающих специфику миграции вещества в безнапорных потоках. Применительно к уравнению (1) необходимо решать уравнение конвективной диффузии [3]

$$\frac{\partial(MC)}{\partial t} = \frac{\partial}{\partial x} \left(D_r M \frac{\partial C}{\partial x} \right) + \frac{\partial}{\partial y} \left(D_r M \frac{\partial C}{\partial y} \right) - (2)$$

$$- \frac{\partial}{\partial x} (MV_x C) - \frac{\partial}{\partial y} (MV_y C) + C_1 q_1 + C_2 q_2,$$

где C – концентрация порового раствора; $M = \theta m$, θ – пористость; D_r – коэффициент гидродинамической дисперсии (разные значения по x, y); V_x, V_y – компоненты скорости фильтрации; C_1 – концентрация раствора, который проходит через зону неполного насыщения; C_2 – поступление солей с нижних горизонтов.

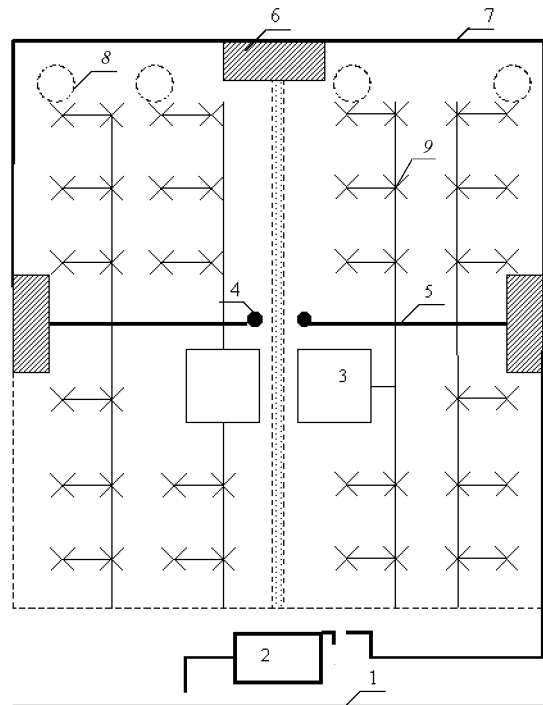


Рис. 1. Фрагмент модуля (поля):

- 1 – магистральный канал;
- 2 – регулирующие емкости;
- 3 – аванкамеры насосных станций;
- 4 – насосные станции подкачивания;
- 5 – напорные трубопроводы;
- 6 – коллекторно-дренажные емкости;
- 7 – открытые оросители;
- 8 – дренажные коллекторы;
- 9 – дождевальные средства

В случае необходимости в уравнении (2) можно учесть физико-химическое взаимодействие загрязняющих веществ между подземными водами и почвой.

В узлах неравномерной прямоугольной сетки уравнения (1), (2) заменяются системой конечно-разностных уравнений по неявной схеме, которая решается на каждом шаге по времени методом по-переменной прогонки с использованием итераций по нелинейностям в коэффициентах [2], когда при проходе сеточной области сверху донизу прогоночные коэффициенты вычисляются слева направо по строкам области, а решение в узлах сети вычисляется по известным рекуррентным формулам справа налево. При проходе же сеточной области снизу доверху прогоночные коэффициенты вычисляются справа налево по строкам, а решение в узлах сети – по рекуррентным формулам слева направо. Как показывают результаты многочисленных опытных расчетов, такая вычислительная схема оптимальна с точки зрения точности расчетов приближенного решения и использует

зуется, главным образом, при выполнении долгосрочных прогнозов (годы) уровней грунтовых вод. Для краткосрочных прогнозов можно применять экономичные разностные схемы (локально-одномерный метод) [2].

Учет поступления или потерь со свободной поверхности уровней грунтовых вод (УГВ) осуществляется путем моделирования процесса влагопереноса в зоне аэрации в каждом узле сеточной области с использованием одномерного уравнения влагопереноса по вертикали z :

$$\frac{\partial \theta}{\partial t} = \frac{\partial}{\partial z} \left(K(\theta, z) \frac{\partial H}{\partial z} \right) + S(t, z), \quad (3)$$

где θ – объемная влажность; $K(\theta, z)$ – коэффициент влагопереноса; $S(t, z)$ – источниковый член, учитывающий забор влаги с поверхности земли и корнями растений [4].

Степень развития корневой системы растений зависит от внешних условий: изменения температуры среды, освещения, влажности почвы, глубины залегания грунтовых вод и др.

В условиях предлагаемой модели скорость испарения с поверхности земли задавалась как составляющая потенциальной суммарной транспирации $E(t)$ с помощью индекса листовой поверхности $0 \leq L_c < 1$, а остальная часть распределялась по глубине корневой системы $h_k(t)$ в виде стоков, величина интенсивности которых зависит от влажности и температуры T :

$$S(z, \theta, T) = E(t) \cdot L_c(t) \cdot r(\theta) \cdot r(T), \quad (4)$$

где $r(\theta)$, $r(T)$ – редукционные коэффициенты, лимитирующие водозабор корневой системой растений, и равные 1 в диапазоне влажностей $\theta_{kp} < \theta < \theta_{nv}$, температур $T_n < T < T_v$; θ_{kp} , θ_{nv} – объемные влажности при наименьшем и критическом увлажнении почвы; T_n , T_v – нижний и верхний пределы температуры, ограничивающие потребление влаги растением.

Для вычисления коэффициента влагопроводности в мировой науке предлагается ряд аппроксимационных зависимостей, например формула Genuchtn M. Ih., имеющая следующий вид:

$$K(\theta, z) = k_f S_e^\lambda \left\{ 1 - \left[1 - S_e^{\frac{n}{n-1}} \right]^{\frac{n-1}{n}} \right\}^2, \\ S_e = \frac{\theta - \theta_r}{\theta_s - \theta_r}, \quad (5)$$

где θ_r – остаточная влажность; θ_s – влажность при полном насыщении; n, λ – определяются в результате обработки данных для конкретных грунтов.

В уравнении теплопереноса

$$C(z, \theta) \frac{\partial T}{\partial t} = \frac{\partial}{\partial z} \left(\lambda_p(z, \theta) \frac{\partial T}{\partial z} \right) \quad (6)$$

зависимость коэффициентов теплопроводности и теплоемкости от влажности, плотности, структуры и температуры почвы принимались по аналогии с [5].

Для прогноза миграции солей в зоне аэрации, например, химически неактивного иона Cl , рекомендуется [6] использовать уравнение конвективной диффузии (однокомпонентная модель)

$$\frac{\partial(\theta C)}{\partial t} = \frac{\partial}{\partial z} \left(D \frac{\partial C}{\partial z} \right) - \frac{\partial(vC)}{\partial z} - \delta WC - \beta_c(C - C_k), \quad (7)$$

где C – общая концентрация иона в поровом растворе; $D(v, C)$ – коэффициент конвективной диффузии; $v = -k(W) \frac{\partial H}{\partial z}$ – скорость влагопереноса; $0 < \delta_c < 1$ – редукционный коэффициент, учитывающий поглощение солей корневой системой; β_c – коэффициент скорости растворения; C_k – концентрация предельного насыщения.

В упрощенном варианте рассмотрим случай, когда уровень грунтовых вод поля в летний сезон известен или регулируется, а задача имитационного моделирования сводится к решению уравнения (3) с переменными во времени граничными условиями поверхности земли. На нижней границе (поверхности грунтовых вод) задается напор $H = H(t)$, соответствующий известному УГВ. Для уравнения (6) на этих границах задаются известные значения температуры на поверхности земли и УГВ. Граничные условия для уравнения солепереноса (7) соответствуют условиям непоступления солей на поверхности земли $\partial C / \partial z = 0$ и постоянству концентрации солей в грунтовых водах $C = C_b = \text{const}$.

При составлении имитационного-оптимизационного сценария необходимо вычислять в процессе решения системы уравнений (3), (6), (7) следующие составляющие водного баланса корнеобитаемого слоя за время Δt : суммарное количество осадков R в мм, испарение с поверхности земли P (мм), суммарные потери влаги из корнеобитаемой зоны или поступления влаги в корнеобитаемый слой из зоны аэрации G (мм), забор влаги корневой системой (транспирация) T_p (мм), текущие запасы продуктивной влаги в корневом слое G_n (мм) и среднюю концентрацию солей C^* (г/л).

Потребление влаги растением благоприятно в корнеобитаемом слое при наличии продуктивных

запасов $u = \theta_{\text{нв}} - \theta_{\text{зв}}$, где $(\theta_{\text{нв}}, \theta_{\text{зв}})$ – интервал влажности от наименьшей влагоемкости $\theta_{\text{нв}}$ до влажности завядания $\theta_{\text{зв}}$ [6]. Однако для некоторых влаголюбивых растений этот интервал может быть сокращен до интервала $\theta_{\text{нв}} - \theta_{\text{зв}} \leq 0.7\theta_{\text{нв}} - \theta_{\text{зв}}$.

2. МЕТОД РЕШЕНИЯ, ПРИМЕРЫ

При численном решении задачи выбор метода решения разностных уравнений во многом зависит от способа аппроксимации дифференциальных уравнений (3), (6), (7) [2]. В настоящей статье схема реализации численного метода состояла в поэтапном решении в каждый момент времени $t = t_k$ нелинейных алгебраических уравнений, которые аппроксимируют систему уравнений (3), (6), (7) на неравномерной сетке с шагами $0.01 \text{ м} \leq h_j \leq 0.1 \text{ м}$ и местами сгущения у поверхности земли и на границах раздела слоев грунта. Шаг по времени τ_k выбирался переменным в зависимости от продолжения осадков (поливов) и равным 0.1 его части, а для периода иссушения автоматически увеличивался в 1.3 раза и не превышал 0.2 суток [4].

Для имитации динамики влагозапасов корнеобитаемого слоя мощностью 0.5 м в течение вегетационного периода при вертикальном влагопереносе в двухслойном грунте с границей раздела $z = 2.5 \text{ м}$ и поверхности земли $z = m = 3 \text{ м}$ коэффициент влагопроводности $k(\theta)$ и зависимость влажности от напора H рассчитывались согласно формул

$$k(\theta) = k_f \left(\frac{\theta - 0.05\theta_0}{\theta_n - \theta_0} \right)^{n_k},$$

$$\theta = \frac{\theta_n + 0.05\theta_0 e^{\frac{1}{n} \ln(\frac{H}{\beta})}}{1 + e^{\frac{1}{n} \ln(\frac{H}{\beta})}}, \quad (8)$$

где θ_0 – влажность, при которой прекращается движение влаги; n_k , β , n – показатели, определяющиеся опытными данными изучения влагопереноса конкретных грунтов.

Водно-физические характеристики верхнего слоя грунта мощностью 0.5 м принимали значения $k_f = 0.25 \text{ м}/\text{сут}$, $n_k = 2, 4$, $\theta_n = 0.5$, $\theta_0 = 0.15$, $\beta = 8, 17$, $\theta_{\text{нв}} = 0.4$, $\theta_{\text{зв}} = 0.31$, $\theta_{\text{зв}} = 0.28$; нижнего подстилающего слоя грунта – $k_f = 0.1 \text{ м}/\text{сут}$, $n_k = 1, 75$, $\theta_n = 0.4$, $\theta_0 = 0.1$, $\beta = 12, 3$, $\theta_{\text{нв}} = 0.32$, $\theta_{\text{зв}} = 0.22$, $\theta_{\text{зв}} = 0.19$.

При регулировании влажности корнеобитаемого слоя часто за основной технологический критерий можно принимать наличие продуктивной

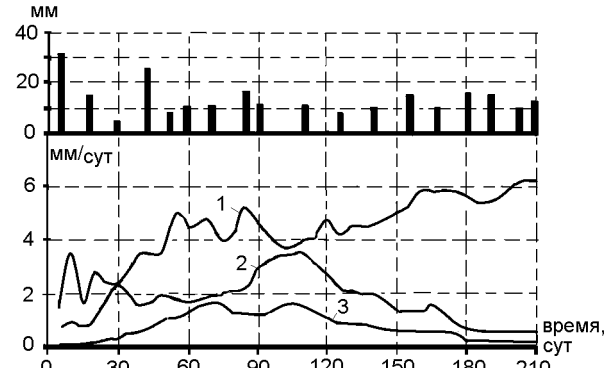


Рис. 2. Динамика запасов продуктивной влаги (ЗПВ) в корневом слое 0,1 ÷ 0,5 м и водного баланса за вегетацию:
1 – ЗПВ (мм); 2 – транспирация, мм/сут;
3 – поверхностное испарение, мм/сут

влажности в этом слое:

$$Q_{\text{пп}}(t) = \int_{m-h_k}^m (\theta_{\text{нв}}(z) - \theta_{\text{кп}}(z)) dz \quad (\theta \geq \theta_{\text{кп}}), \quad (9)$$

где $h_k(t)$ – мощность корнеобитаемого слоя, зависящая от вида и фазы развития растений и других факторов.

Имитационно-оптимизационное моделирование содержания продуктивной влаги в корнеобитаемом слое при одном сценарии проводилось, когда количество осадков в летний период составило 320 мм, транспирация 170 мм, испарение с поверхности земли 65 мм, температура изменялась от 3 до 20°C, а глубина корневого слоя изменялась от 0.15 до 0.5 м, суммарная транспирация задавалась переменной от 2 до 8 мм/сут, осадки распределялись с интенсивностью от 10 до 50 мм.

На рис. 2 приведена динамика водного режима в летний сезон (210 суток) с учетом водозабора корнями растений при уровне грунтовых вод $H = 2 \text{ м}$ в перерасчете на $\text{мм}/\text{сут}$. Результаты моделирования в этом случае указывают на то, что при данном распределении осадков, поверхностного испарения и транспирации за сезон дефицит продуктивной влаги в корнеобитаемом слое отсутствует, так как запасы продуктивной влаги каждые сутки больше значений транспирации.

На рис. 3 представлена динамика количества продуктивной влаги, содержащейся в корнеобитаемом слое при разных положениях УГВ ($H = 3 \text{ м}$, $H = 1,5 \text{ м}$) и транспирации растений большого водопотребления.

Анализ моделирования этих двух сценариев показал, что при уровне $H = 3 \text{ м}$ наличие дефици-

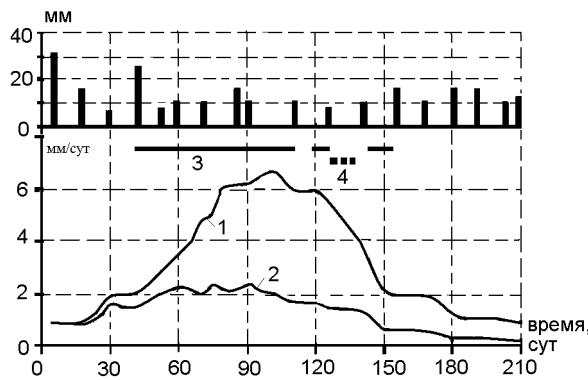


Рис. 3. Существование дефицита продуктивной влаги:
 1 – транспирация; 2 – поверхностное испарение;
 3, 4 – длительность дефицита влаги корневого слоя при уровне грунтовых вод соответственно 3 и 1,5 м

та продуктивной влаги в корневом слое продолжительное во времени и равняется 85 суток сравнительно с положением УГВ 1.5 м, продолжающимся 10 суток. С точки зрения увлажнения корнеобитаемого слоя в этом случае необходимо его дополнительное увлажнение, которое существенным образом должно повлиять на продуктивность растений. Поэтому предлагаются оптимальные и водосберегающие режимы расчета при условии

$$U = Q_{np}(t) - \int_{m=h_k}^m S(t, z) dz \leq 0, \quad (10)$$

т. е. когда разность между запасами продуктивной влаги и влаги, потребляемой растениями в корневом слое, положительна. Водосберегающие режимы орошения отличаются от оптимальных предполивным порогом влагоемкости почв корнеобитаемого слоя в разные межфазовые периоды развития растений. Все элементы водного баланса корнеобитаемого слоя в летний сезон определить экспериментальным путем практически невозможно. Однако попытаться решить такую задачу можно путем использования современных методов математического моделирования влагопереноса, интегрируя уравнения (1) с выполнением условия (9) и назначением поливов при его невыполнении.

При более жестком режиме увлажнения интегрировать уравнение (2) приходится при выполнении условия, что изменение запасов продуктивной влаги находится в диапазоне $\theta_{hv} - \theta_{vz} \leq u \leq 0.7\theta_{hv} - \theta_{vz}$.

В ситуации, когда при двустороннем регулировании увлажнения корнеобитаемого слоя за основ-

ные критерии выбраны не только наличие продуктивной влаги, но и содержание солей в этом слое, учитывается изменение средней концентрации солей в корнеобитаемом слое:

$$C_{cp} = \frac{1}{h_k} \int_{m-h_k}^m C(t, z) dz, \quad (11)$$

может возникнуть ситуация невозможности удовлетворения одновременно оптимальным условиям по увлажнению и по засолению корнеобитаемого слоя. На рис. 4 представлены результаты численных расчетов влагосолепереноса, выполненных для разных значений начального засоления, зоны аэрации. В вариантах с разными уровнями грунтовых вод и одинаковыми климатическими условиями интерес вызывает изменение средней концентрации солей C_{cp} корнеобитаемого слоя в течение вегетационного периода в зависимости от глубины залегания грунтовых вод и их минерализации. Тогда наиболее простой задачей оптимизации водно-солевого режима корневого слоя является обоснование критической глубины залегания грунтовых вод, оптимальные значения которой зависят от вида растений и фазы их развития.

На рис. 4 (кривые 1, 2) представлены сценарии развития накопления солей в корнеобитаемом слое при их начальной концентрации 0.1 г/л в поровом растворе приповерхностного слоя мощностью 0.25 м, в зоне аэрации – 1 г/л, в грунтовых водах с уровнем залегания 2 м от поверхности – 3 г/л. Составляющие водного баланса корнеобитаемого слоя за расчетный период 210 суток составили соответственно: 326 мм – суммарная транспирация, 276 мм – осадки, 14 мм – превышения поступления влаги из зоны аэрации в корнеобитаемый слой, что является главным показателем устойчивого засоления корнеобитаемого слоя в летний период.

Анализ динамики процесса засоления показывает (рис. 4), что поступления солей в корнеобитаемый слой происходит в первые 20–30 сут. и стабилизируется через 100–140 суток, т. е. к середине теплого сезона. При мощности слоя $0.2 < h_k < 0.25$ м характерные кратковременные колебания концентрации C_{cp} в весенний период вызваны изменениями влажности в слое за счет осадков и суммарной транспирации. К концу сезона ($t \leq 250$ сут, $h_k \leq 0.5$ м предельные значения концентрации солей корнеобитаемого слоя значительно меньше значений концентрации солей в грунтовых водах и в зоне аэрации в целом.

В зимний сезон, когда величина осадков значительно превосходит величину испарений, происхо-

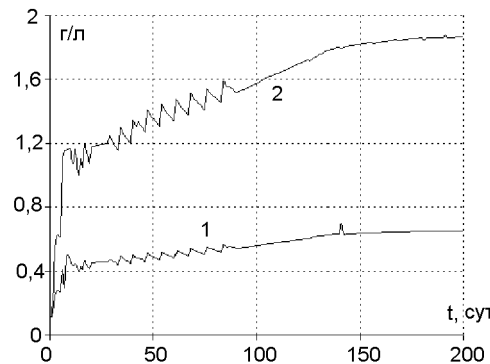


Рис. 4. Изменение средней концентрации солей порового раствора корнеобитаемого слоя в период вегетации для различной степени минерализации грунтовых вод при глубине их залегания 2 м:
1 – минерализация 1,0 г/л; 2 – минерализация 3,0 г/л

дит промывка верхнего слоя до изначальной концентрации 0,1 г/л. Как показывают многочисленные имитационные расчеты влагосолепереноса, создание путем дополнительных поливов промывного режима требует больших расходов воды и мало эффективно, поэтому более действенным будет регулирование УГВ и поддержание его на некоторой безопасной критической глубине.

На рис. 5 представлен сценарий развития засоления корнеобитаемого слоя при другой изначальной концентрации солей 0,1 г/л в верхнем приповерхностном слое зоны аэрации мощностью 1,5 м. В соответствии с полученными результатами интенсивность засоления корнеобитаемого слоя существенно изменяется за более длительный период, равный 140 сут. В этой ситуации в конце сезона концентрация солей, накопившихся в корнеобитаемом слое, значительно ниже концентрации солей в грунтовых водах (3 г/л).

Таким образом, моделирование различных сценариев засоления корнеобитаемого слоя в летний период с учетом динамики изменения основных составляющих водного баланса зоны аэрации и корнеобитаемого слоя в отдельности дает возможность оценить и учесть влияние этих составляющих на водно-солевой режим орошаемого поля, обосновать оптимальные глубины залегания УГВ.

ЗАКЛЮЧЕНИЕ

Предложенные здесь имитационно-оптимизационные модели вполне годятся для обоснования не только дренажных систем при их проектировании, реконструкции, но и при обосновании защитных

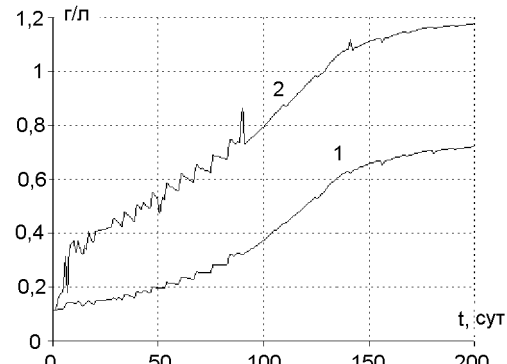


Рис. 5. Изменение средней концентрации солей порового раствора корнеобитаемого слоя в период вегетации в зависимости от мощности слоя изначального рассоления зоны аэрации:
начальная концентрация солей 0,1 г/л
1 – УГВ 2 м, минерализация грунтовых вод 3,0 г/л, мощность приповерхностного слоя зоны аэрации 1,5 м;
2 – мощность слоя равна 1 м

мероприятий от подтопления полей орошения. Таким образом, современное состояние по созданию имитационных моделей прогноза уровней грунтовых вод, формирования процесса подтопления и уровневых режимов грунтовых вод открывает новые практические подходы к обоснованию технологий и модернизации полей орошения: прогноз подтопления территории грунтовыми водами; вариантоное решение методов защиты от подтопления или засоления; обоснование технологий модернизации и реконструкции.

1. Коваленко П.І., Михайлов Ю.О. Концепція модернізації зрошувальних систем України // Міжвід. наук.-тех. Зб. Мелиорація і водне господарство.– 2002.– 88.– С. 3–14.
2. Марчук Г.І. Методы вычислительной математики.– М.: Наука, 1980.– 536 с.
3. Рекс Л.М., Якиревич А.М. Методика расчета тепловлагопереноса в насыщенных и ненасыщенных грунтах с помощью ЭВМ // Моделирование гидро-геохимических процессов и научные основы гидро-геохимических прогнозов.– М.: Наука, 1985.– 174–182 с.
4. Калугин Ю.И., Курганская С.Н., Сирый В.С. Математические модели регулирования водно-воздушного режима почв на основе расчета водно-солевых потоков в зоне аэрации // Прикладна гідромеханіка.– 2001.– Т. 3(75), N 3.– С. 26–31.
5. Куртенер Д.А., Чудновский А.Ф. Агрометеорологические основы тепловой мелиорации почв.– Л.: Гидрометеоиздат, 1979.– 231 с.
6. Айдаров И.П. Регулирование водно-солевого и питательного режимов орошаемых земель.– М.: Агропромиздат, 1985.– 304 с.